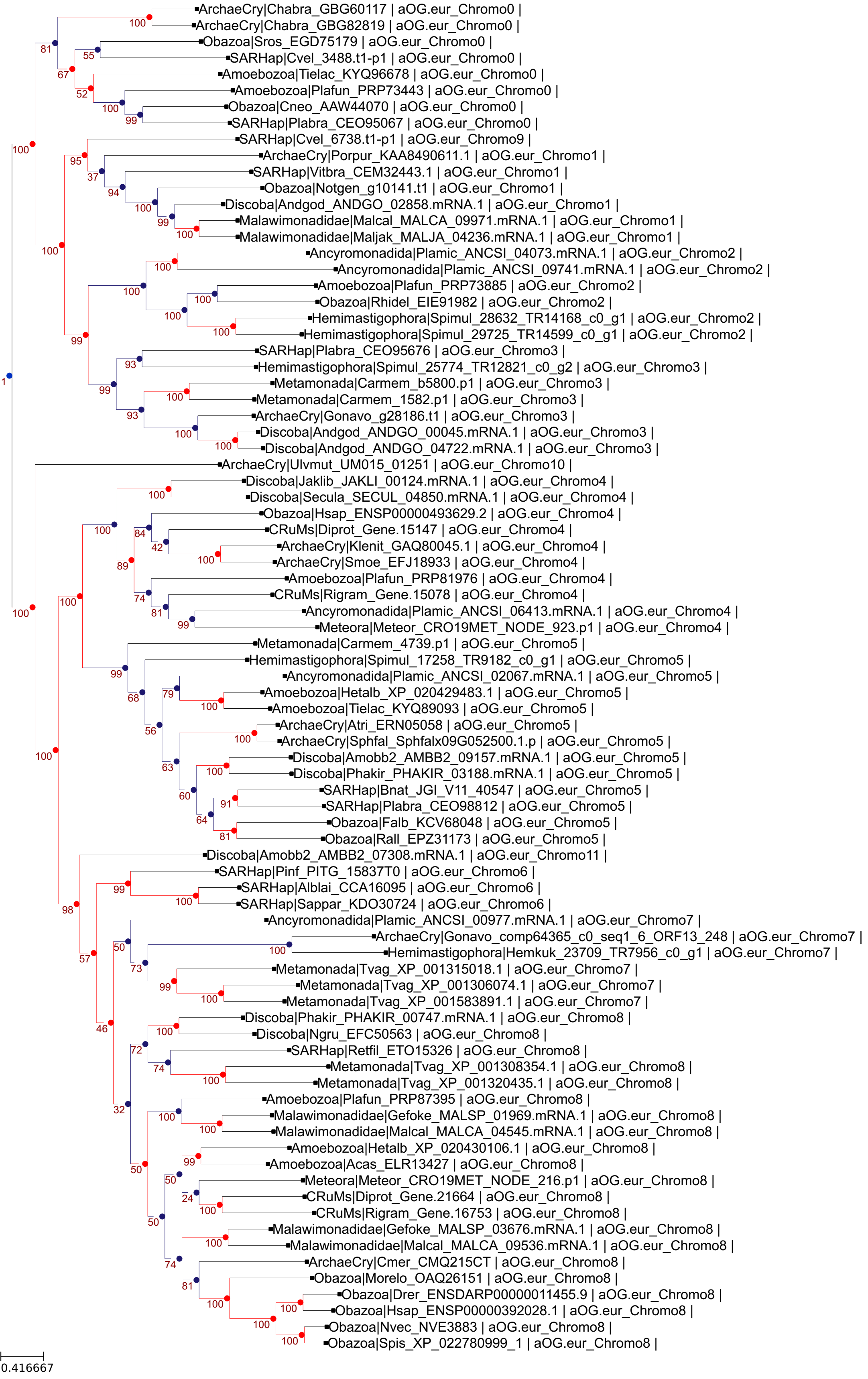
ArchaeCry|Chabra_GBG60117 | aOG.eur_Chromo0 |
ArchaeCry|Chabra_GBG82819 | aOG.eur_Chromo0 |
Obazoa|Sros_EGD75179 | aOG.eur_Chromo0 |
SARHap|Cvel_3488.t1-p1 | aOG.eur_Chromo0 |
Amoebozoa|Tielac_KYQ96678 | aOG.eur_Chromo0 |
Amoebozoa|Plafun_PRP73443 | aOG.eur_Chromo0 |
Obazoa|Cneo_AAW44070 | aOG.eur_Chromo0 |
SARHap|Plabra_CEO95067 | aOG.eur_Chromo0 |
SARHap|Cvel_6738.t1-p1 | aOG.eur_Chromo9 |
ArchaeCry|Porpur_KAA8490611.1 | aOG.eur_Chromo1 |
SARHap|Vitbra_CEM32443.1 | aOG.eur_Chromo1 |
Obazoa|Notgen_g10141.t1 | aOG.eur_Chromo1 |
Discoba|Andgod_ANDGO_02858.mRNA.1 | aOG.eur_Chromo1 |
Malawimonadidae|Malcal_MALCA_09971.mRNA.1 | aOG.eur_Chromo1 |
Malawimonadidae|Maljak_MALJA_04236.mRNA.1 | aOG.eur_Chromo1 |
Ancyromonadida|Plamic_ANCSI_04073.mRNA.1 | aOG.eur_Chromo2 |
Ancyromonadida|Plamic_ANCSI_09741.mRNA.1 | aOG.eur_Chromo2 |
Amoebozoa|Plafun_PRP73885 | aOG.eur_Chromo2 |
Obazoa|Rhidel_EIE91982 | aOG.eur_Chromo2 |
Hemimastigophora|Spimul_28632_TR14168_c0_g1 | aOG.eur_Chromo2 |
Hemimastigophora|Spimul_29725_TR14599_c0_g1 | aOG.eur_Chromo2 |
SARHap|Plabra_CEO95676 | aOG.eur_Chromo3 |
Hemimastigophora|Spimul_25774_TR12821_c0_g2 | aOG.eur_Chromo3 |
Metamonada|Carmem_b5800.p1 | aOG.eur_Chromo3 |
Metamonada|Carmem_1582.p1 | aOG.eur_Chromo3 |
ArchaeCry|Gonavo_g28186.t1 | aOG.eur_Chromo3 |
Discoba|Andgod_ANDGO_00045.mRNA.1 | aOG.eur_Chromo3 |
Discoba|Andgod_ANDGO_04722.mRNA.1 | aOG.eur_Chromo3 |
ArchaeCry|Ulvmut_UM015_01251 | aOG.eur_Chromo10 |
Discoba|Jaklib_JAKLI_00124.mRNA.1 | aOG.eur_Chromo4 |
Discoba|Secula_SECUL_04850.mRNA.1 | aOG.eur_Chromo4 |
Obazoa|Hsap_ENSP00000493629.2 | aOG.eur_Chromo4 |
CRuMs|Diprot_Gene.15147 | aOG.eur_Chromo4 |
ArchaeCry|Klenit_GAQ80045.1 | aOG.eur_Chromo4 |
ArchaeCry|Smoe_EFJ18933 | aOG.eur_Chromo4 |
Amoebozoa|Plafun_PRP81976 | aOG.eur_Chromo4 |
CRuMs|Rigram_Gene.15078 | aOG.eur_Chromo4 |
Ancyromonadida|Plamic_ANCSI_06413.mRNA.1 | aOG.eur_Chromo4 |
Meteora|Meteor_CRO19MET_NODE_923.p1 | aOG.eur_Chromo4 |
Metamonada|Carmem_4739.p1 | aOG.eur_Chromo5 |
Hemimastigophora|Spimul_17258_TR9182_c0_g1 | aOG.eur_Chromo5 |
Ancyromonadida|Plamic_ANCSI_02067.mRNA.1 | aOG.eur_Chromo5 |
Amoebozoa|Hetalb_XP_020429483.1 | aOG.eur_Chromo5 |
Amoebozoa|Tielac_KYQ89093 | aOG.eur_Chromo5 |
ArchaeCry|Atri_ERN05058 | aOG.eur_Chromo5 |
ArchaeCry|Sphfal_Sphfalx09G052500.1.p | aOG.eur_Chromo5 |
Discoba|Amobb2_AMBB2_09157.mRNA.1 | aOG.eur_Chromo5 |
Discoba|Phakir_PHAKIR_03188.mRNA.1 | aOG.eur_Chromo5 |
SARHap|Bnat_JGI_V11_40547 | aOG.eur_Chromo5 |
SARHap|Plabra_CEO98812 | aOG.eur_Chromo5 |
Obazoa|Falb_KCV68048 | aOG.eur_Chromo5 |
Obazoa|Rall_EPZ31173 | aOG.eur_Chromo5 |
Discoba|Amobb2_AMBB2_07308.mRNA.1 | aOG.eur_Chromo11 |
SARHap|Pinf_PITG_15837T0 | aOG.eur_Chromo6 |
SARHap|Alblai_CCA16095 | aOG.eur_Chromo6 |
SARHap|Sappar_KDO30724 | aOG.eur_Chromo6 |
Ancyromonadida|Plamic_ANCSI_00977.mRNA.1 | aOG.eur_Chromo7 |
ArchaeCry|Gonavo_comp64365_c0_seq1_6_ORF13_248 | aOG.eur_Chromo7 |
Hemimastigophora|Hemkuk_23709_TR7956_c0_g1 | aOG.eur_Chromo7 |
Metamonada|Tvag_XP_001315018.1 | aOG.eur_Chromo7 |
Metamonada|Tvag_XP_001306074.1 | aOG.eur_Chromo7 |
Metamonada|Tvag_XP_001583891.1 | aOG.eur_Chromo7 |
Discoba|Phakir_PHAKIR_00747.mRNA.1 | aOG.eur_Chromo8 |
Discoba|Ngru_EFC50563 | aOG.eur_Chromo8 |
SARHap|Retfil_ETO15326 | aOG.eur_Chromo8 |
Metamonada|Tvag_XP_001308354.1 | aOG.eur_Chromo8 |
Metamonada|Tvag_XP_001320435.1 | aOG.eur_Chromo8 |
Amoebozoa|Plafun_PRP87395 | aOG.eur_Chromo8 |
Malawimonadidae|Gefoke_MALSP_01969.mRNA.1 | aOG.eur_Chromo8 |
Malawimonadidae|Malcal_MALCA_04545.mRNA.1 | aOG.eur_Chromo8 |
Amoebozoa|Hetalb_XP_020430106.1 | aOG.eur_Chromo8 |
Amoebozoa|Acas_ELR13427 | aOG.eur_Chromo8 |
Meteora|Meteor_CRO19MET_NODE_216.p1 | aOG.eur_Chromo8 |
CRuMs|Diprot_Gene.21664 | aOG.eur_Chromo8 |
CRuMs|Rigram_Gene.16753 | aOG.eur_Chromo8 |
Malawimonadidae|Gefoke_MALSP_03676.mRNA.1 | aOG.eur_Chromo8 |
Malawimonadidae|Malcal_MALCA_09536.mRNA.1 | aOG.eur_Chromo8 |
ArchaeCry|Cmer_CMQ215CT | aOG.eur_Chromo8 |
Obazoa|Morelo_OAQ26151 | aOG.eur_Chromo8 |
Obazoa|Drer_ENSDARP00000011455.9 | aOG.eur_Chromo8 |
Obazoa|Hsap_ENSP00000392028.1 | aOG.eur_Chromo8 |
Obazoa|Nvec_NVE3883 | aOG.eur_Chromo8 |
Obazoa|Spis_XP_022780999_1 | aOG.eur_Chromo8 |
0.416667